

О СИНГУЛЯРНОСТИ РЕШЕНИЯ УРАВНЕНИЙ
ПЛОТНОГО ЭЛЕКТРОННОГО ПУЧКА ПРИ ЭМИССИИ В T -РЕЖИМЕ© 2022 г. Т. М. Сапронова^а, *, В. А. Сыровой^а^аВЭИ – филиал “РФЯЦ – ВНИИТФ им. академ. Е.И. Забабахина”,
ул. Красноказарменная, 12, Москва, 111250 Российская Федерация

*E-mail: red@cplire.ru

Поступила в редакцию 03.08.2021 г.

После доработки 03.08.2021 г.

Принята к публикации 16.09.2021 г.

Проанализировано поведение регулярных функций в двучленной формуле для потенциала с выделением особенности для одномерных диода и магнетрона при эмиссии в T -режиме.

DOI: 10.31857/S0033849422040088

ВВЕДЕНИЕ

Предположение о нулевой начальной скорости электронов в гидродинамической модели плотного электронного пучка приводит к бесконечному значению плотности пространственного заряда ρ на стартовой поверхности при эмиссии, ограниченной пространственным зарядом или температурой. Математическим следствием этого факта является появление особой точки на катоде, характер которой зависит от режима эмиссии и наличия магнитного поля \bar{H} . В работе [1] показано, что при эмиссии в ρ -режиме и $\bar{H} \neq 0$ структура особенности может быть представлена в виде трехчленной формулы, описывающей “линейную комбинацию” двух точек ветвления, коэффициентами в которой являются аналитические функции продольной координаты l , нормальной к катоду.

Для потенциала электрического поля Φ формула имеет вид

$$\Phi = l^{4/3}\Phi_1(l) + l^{6/3}\Phi_2(l) + l^{8/3}\Phi_3(l). \quad (1)$$

Зависимости от тангенциальных к катоду координат у функций Φ_k для упрощения записи не приводим.

При эмиссии в T -режиме структура особенности описывается более простым выражением

$$\Phi = l^{2/2}\Phi_1(l) + l^{3/2}\Phi_2(l). \quad (2)$$

Коэффициенты в зависимостях (1), (2) не могут быть выражены в элементарных функциях даже в случае одномерных течений, описываемых точными решениями.

Для электростатических пучков в ρ -режиме эмиссии особенность факторизуется:

$$\Phi = l^{4/3}\Phi(l). \quad (3)$$

Цель работы – изучение функций Φ_1 , Φ_2 в (2) для наиболее простой задачи о классическом варианте плоского магнетрона [2, 3] с магнитным полем, направленным параллельно электродам, и его частном случае – плоском диоде. В отличие от работ [2, 3] рассмотрение относится к случаю эмиссии, ограниченной температурой, когда критический и за критический режимы с двухпетлевыми траекториями не могут иметь места.

Выделение особенности в одномерных задачах. Потенциал в плоском магнетроне при переходе от системы СИ к безразмерным переменным (символы с чертой), устраняющим из уравнений пучка все физические постоянные используемой системы единиц, описывается соотношением

$$\frac{d^2\bar{\Phi}}{d\bar{x}^2} = \frac{\bar{J}}{\sqrt{2\bar{\Phi} - \bar{H}^2\bar{x}^2}}, \quad \bar{\Phi} = \bar{x}\bar{\Phi}_1(\bar{x}) + \bar{x}^{3/2}\bar{\Phi}_2(\bar{x}), \quad (4)$$

где нормировка проведена в соответствии с правилами

$$\bar{\Phi} = \frac{\Phi}{\Phi_*}, \quad \bar{E} = \frac{E}{E_*}, \quad \bar{H} = \frac{H}{H_*}, \quad \bar{J} = \frac{J}{J_*}, \quad \bar{x} = \frac{x}{L_*}; \quad (5)$$

$$\eta\Phi_* = V_*^2, \quad E_* = \frac{\Phi_*}{L_*}, \quad H_* = \frac{V_*}{\eta\mu_0 L_*}, \quad J_* = \frac{\epsilon_0 V_*^3}{\eta L_*^2},$$

причем звездочками отмечены характерные величины длины L_* , потенциала Φ_* , скорости V_* , электрического поля E_* , напряженности магнит-

ного поля H_* , плотности тока J_* ; $\eta = e/m$, ϵ_0 , μ_0 – удельный заряд электрона, диэлектрическая и магнитная проницаемости вакуума.

Введем дополнительную нормировку искомым функций и аргумента в (4):

$$\begin{aligned} \bar{\Phi}_1 &= \bar{E}\hat{\Phi}_1, \quad \bar{\Phi}_2 = \frac{\bar{J}}{2\sqrt{2\bar{E}}}\hat{\Phi}_2, \\ \bar{\varphi} &= \frac{8\bar{E}^4}{\bar{J}^2}\hat{\varphi}, \quad \bar{x} = \frac{8\bar{E}^3}{\bar{J}^2}\hat{x}, \end{aligned} \quad (6)$$

где \bar{E} – поле на катоде.

В новых переменных соотношения (4) примут вид

$$\frac{d^2\hat{\varphi}}{d\hat{x}^2} = \frac{2}{\sqrt{\hat{\varphi} - 4\gamma^2\hat{x}^2}}, \quad \hat{\varphi} = \hat{x}\hat{\Phi}_1 + \hat{x}^{3/2}\hat{\Phi}_2; \quad \gamma = \frac{\bar{E}\bar{H}}{\bar{J}}. \quad (7)$$

Возведем обе части дифференциального уравнения для $\hat{\varphi}$ в квадрат и будем искать решение в форме (7)

$$\left(\frac{d^2\hat{\varphi}}{d\hat{x}^2}\right)^2 (\hat{\varphi} - 4\gamma^2\hat{x}^2) = 4. \quad (8)$$

Сепарация регулярных функций и функций с факторизованной особенностью, справедливая вблизи стартовой поверхности, приводит к системе уравнений

$$\begin{aligned} (\hat{\Phi}_1 - 4\gamma^2\hat{x})(\hat{x}\Psi_1^2 + \Psi_2^2) + 2\hat{x}\hat{\Phi}_2\Psi_1\Psi_2 &= 4, \\ \hat{\Phi}_2(\hat{x}\Psi_1^2 + \Psi_2^2) + 2(\hat{\Phi}_1 - 4\gamma^2\hat{x})\Psi_1\Psi_2 &= 0, \end{aligned} \quad (9)$$

где через Ψ_1, Ψ_2 обозначены дифференциальные комплексы

$$\Psi_1 = 2\hat{\Phi}_1' + \hat{x}\hat{\Phi}_1'', \quad \Psi_2 = \frac{3}{4}\hat{\Phi}_2 + 3\hat{x}\hat{\Phi}_2' + \hat{x}^2\hat{\Phi}_2'', \quad (10)$$

штрих означает производную по \hat{x} .

Разрешая уравнения (9) относительно комбинаций $(\sqrt{\hat{x}}\Psi_1)^2 + \Psi_2^2$, $(\sqrt{\hat{x}}\Psi_1)\Psi_2$, имеем

$$\begin{aligned} (\sqrt{\hat{x}}\Psi_1)^2 + \Psi_2^2 &= \frac{4}{\delta}(\hat{\Phi}_1 - 4\gamma^2\hat{x}), \\ (\sqrt{\hat{x}}\Psi_1)\Psi_2 &= -\frac{2}{\delta}\sqrt{\hat{x}}\hat{\Phi}_2; \\ \delta &= (\hat{\Phi}_1 - 4\gamma^2\hat{x})^2 - \hat{x}\hat{\Phi}_2^2. \end{aligned} \quad (11)$$

Дополним левую часть первого соотношения (11) до квадрата суммы функций $\sqrt{\hat{x}}\Psi_1$ и Ψ_2 и выразим первую из них через вторую при помощи второго

соотношения. Результатом будет квадратное уравнение относительно Ψ_2

$$\begin{aligned} (\sqrt{\hat{x}}\Psi_1) + \Psi_2 &= \frac{1}{\sqrt{\delta}}[(\hat{\Phi}_1 - 4\gamma^2\hat{x}) - \sqrt{\hat{x}}\hat{\Phi}_2]^{1/2}, \\ \sqrt{\hat{x}}\Psi_1 &= -\frac{2}{\delta}\sqrt{\hat{x}}\hat{\Phi}_2; \end{aligned} \quad (12)$$

$$\Psi_2^2 - \frac{1}{\sqrt{\delta}}[(\hat{\Phi}_1 - 4\gamma^2\hat{x}) - \sqrt{\hat{x}}\hat{\Phi}_2]^{1/2}\Psi_2 - \frac{2}{\delta}\sqrt{\hat{x}}\hat{\Phi}_2 = 0.$$

Регулярные фрагменты $\hat{\Phi}_1, \hat{\Phi}_2$ потенциала в форме (7) удовлетворяют следующей системе дифференциальных уравнений:

$$\begin{aligned} \Psi_1 &\equiv \hat{x}\hat{\Phi}_1'' + 2\hat{\Phi}_1' = \frac{1}{\sqrt{\hat{x}}}\times \\ &\times \left[\frac{1}{\sqrt{(\hat{\Phi}_1 - 4\gamma^2\hat{x}) + \sqrt{\hat{x}}\hat{\Phi}_2}} - \frac{1}{\sqrt{(\hat{\Phi}_1 - 4\gamma^2\hat{x}) - \sqrt{\hat{x}}\hat{\Phi}_2}} \right], \\ \Psi_2 &\equiv \hat{x}^2\hat{\Phi}_2'' + 3\hat{x}\hat{\Phi}_2' + \frac{3}{4}\hat{\Phi}_2 = \\ &= \frac{1}{\sqrt{(\hat{\Phi}_1 - 4\gamma^2\hat{x}) + \sqrt{\hat{x}}\hat{\Phi}_2}} + \frac{1}{\sqrt{(\hat{\Phi}_1 - 4\gamma^2\hat{x}) - \sqrt{\hat{x}}\hat{\Phi}_2}}. \end{aligned} \quad (13)$$

Обратим внимание на тот факт, что уравнения (13), определяющие в окрестности $\hat{x} = 0$ регулярные функции $\hat{\Phi}_1, \hat{\Phi}_2$, имеют правые части, образованные неаналитическими слагаемыми. Кроме того, выполнение равенства

$$F = \hat{\Phi}_1 - 4\gamma^2\hat{x} - \sqrt{\hat{x}}\hat{\Phi}_2 = 0 \quad (14)$$

приводит к появлению особенности, не связанной с режимом эмиссии. Само это равенство, явившееся следствием сепарации членов разного порядка малости вблизи $\hat{x} = 0$, может иметь смысл при значительном удалении от $\hat{x} = 0$, где $\sqrt{\hat{x}}$ можно рассматривать как регулярную функцию. Корень \hat{x}_* уравнения (14) определяет интервал, на котором уравнение (7) имеет решение приведенной в (7) формы.

Построение разложений для функций $\hat{\Phi}_1, \hat{\Phi}_2$ из (13) вблизи $x = 0$ приводит к следующему результату:

$$\begin{aligned} \hat{\Phi}_1 &= f_0 + f_1\hat{x} + f_2\hat{x}^2 + \dots, \\ \hat{\Phi}_2 &= g_0 + g_1\hat{x} + g_2\hat{x}^2 + \dots; \\ f_0 &= 1, \quad f_1 = -\frac{4}{3}, \quad g_0 = \frac{8}{3}, \\ g_1 &= \frac{16}{9} + \frac{16}{15}\gamma^2, \quad f_2 = -\frac{256}{81} - \frac{128}{45}\gamma^2, \\ g_2 &= \frac{176}{27} + \frac{352}{45}\gamma^2 + \frac{48}{35}\gamma^4, \\ \hat{\varphi} &= \hat{x}\hat{\Phi}_1 + \hat{x}^{3/2}\hat{\Phi}_2. \end{aligned} \quad (15)$$

В дальнейшем при рассмотрении численных примеров в качестве базисных значений параметров пучка примем величины, близкие к указанным в

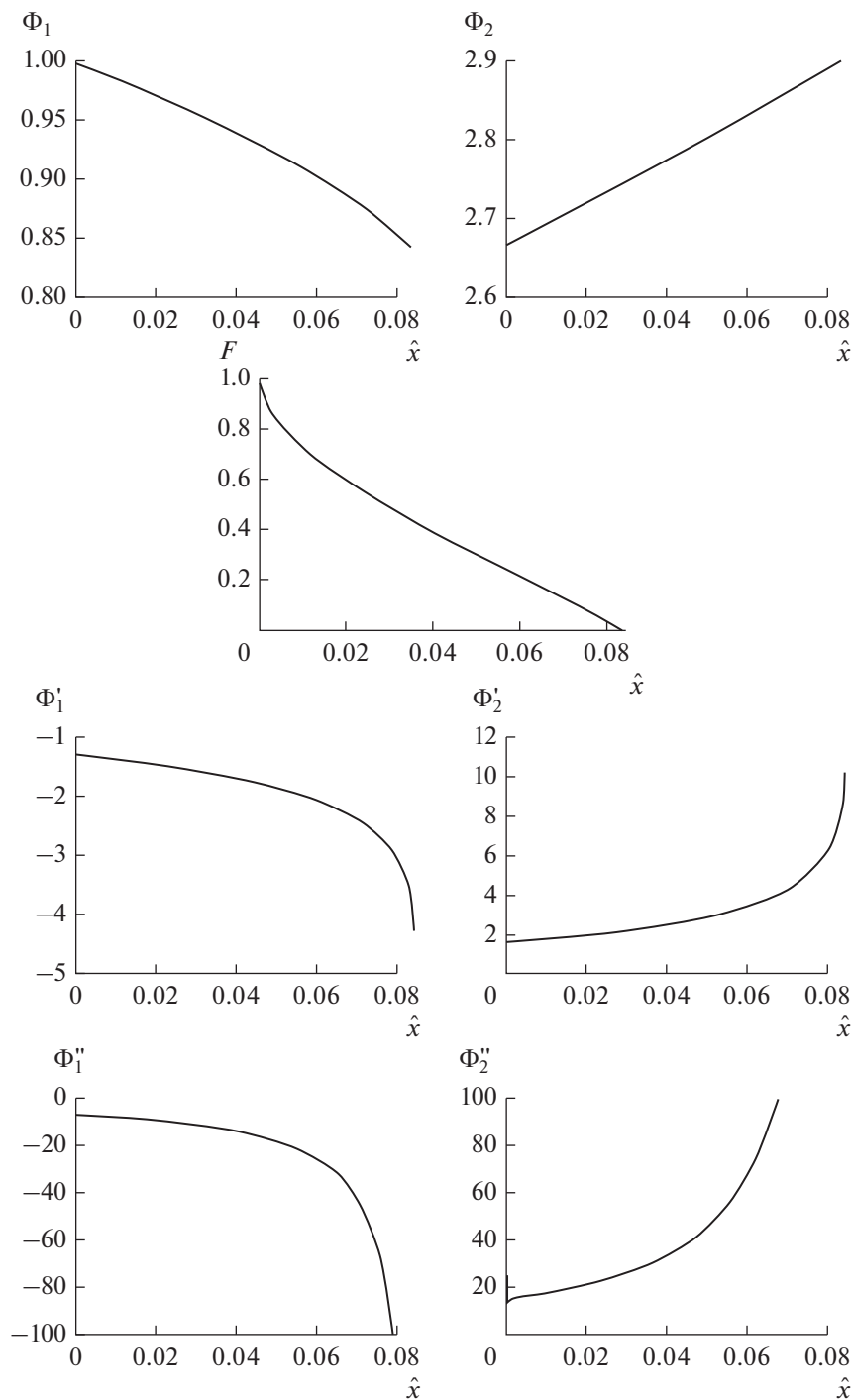


Рис. 1. Функции Φ_1, Φ_2 с первыми и вторыми производными и функция F для диода.

работе [4], посвященной описанию электронно-оптической системы планарного гиротрона

$$\begin{aligned} \varphi_* &= 50 \text{ кВ}, \quad V_* = 9.4 \times 10^7 \text{ м/с}, \\ H_* &= 4.24 \times 10^4 \text{ А/м}, \quad J_* = 41.5 \text{ А/см}^2; \quad (16) \\ \bar{E} &= 0.6, \quad \bar{H} = 2.9, \quad \bar{J} = 0.1, \end{aligned}$$

где \bar{H} – поле на катоде.

Плоский диод. На рис. 1 приведены функции $\hat{\Phi}_1, \hat{\Phi}'_1, \hat{\Phi}''_1; \hat{\Phi}_2, \hat{\Phi}'_2, \hat{\Phi}''_2$ и F , полученные при интегрировании уравнений (13). Значение \hat{x}_* при этом составляет

$$\hat{x}_* = 0.083877. \quad (17)$$

Для плоского диода в T -режиме существует аналитическое решение в параметрической форме,

Таблица 1. Возможные параметры диода при $\alpha = 2$

\bar{E}	0.6	0.5	0.4	0.3	0.2	0.15
\bar{J}	0.509	0.354	0.226	0.127	0.0566	0.0318
\bar{x}	0.899	1.079	1.348	1.798	2.697	3.596
$J, \text{A}/\text{cm}^2$	21	14.7	9.4	5.3	2.4	1.3

описываемое не содержащими значений \bar{J} , \bar{E} универсальными зависимостями от τ :

$$\begin{aligned} \frac{\bar{J}^2}{\bar{E}^3} \bar{x}^{\text{ex}} &= \hat{x}^{\text{ex}} = \frac{1}{2} \tau^2 \left(\frac{1}{3} \tau + 1 \right), \\ \frac{\bar{J}^2}{\bar{E}^4} \bar{\varphi}^{\text{ex}} &= \hat{\varphi}^{\text{ex}} = \frac{1}{2} \tau^2 \left(\frac{1}{2} \tau + 1 \right)^2, \\ \frac{1}{\bar{E}} \frac{d\bar{\varphi}^{\text{ex}}}{d\bar{x}^{\text{ex}}} &= \frac{\tau^2 + 3\tau + 2}{\tau + 2}. \end{aligned} \quad (18)$$

Нормировав потенциал φ на потенциал анода φ_A ($\bar{\varphi}_A = 1$), получим значения параметра τ_A , расстояния \bar{x}_A^{ex} между электродами и поля \bar{E}_A^{ex} на аноде:

$$\begin{aligned} \frac{\bar{J}^2}{\bar{E}^4} \times 1 &= \frac{1}{2} \tau_A^2 \left(\frac{1}{2} \tau_A + 1 \right)^2, \quad \tau_A = \sqrt{1 + 2\alpha} - 1, \\ \alpha &= \frac{\bar{J} \sqrt{2}}{\bar{E}^2}, \quad \bar{x}_A^{\text{ex}} = \frac{\bar{E}^3}{\bar{J}^2} \hat{x}_A^{\text{ex}}, \\ \hat{x}_A^{\text{ex}} &= \frac{1}{3} \left[1 + (\alpha - 1) \sqrt{1 + 2\alpha} \right], \\ \frac{1}{\bar{E}} \bar{E}_A^{\text{ex}} &= \sqrt{1 + 2\alpha}. \end{aligned} \quad (19)$$

Нормировки (6) для решения в форме (7) с выделенной особенностью отличаются от нормировок точного решения (18) множителем 8 в знаменателе:

$$\hat{x} = \hat{x}^{\text{ex}}/8, \quad \hat{\varphi} = \hat{\varphi}^{\text{ex}}/8. \quad (20)$$

Выполнение условия (14) вводит ограничение на величину параметра α и связь составляющих его физических параметров \bar{J} , \bar{E} .

Значению \hat{x}_* из (17) соответствует величина α_* , удовлетворяющая уравнению

$$(\alpha_* - 1) \sqrt{1 + 2\alpha_*} + 1 = 24\hat{x}_*, \quad \alpha_* = 1.5058. \quad (21)$$

Из формул (19) находим прочие параметры диода в этом случае:

$$\begin{aligned} \tau_{A*} &= \sqrt{1 + 2\alpha_*} - 1 = 1.002898, \\ \hat{x}_{A*}^{\text{ex}} &= \frac{1}{3} \left[1 + (\alpha_* - 1) \sqrt{1 + 2\alpha_*} \right] = 0.671022, \\ \hat{x}_* &= \hat{x}_{A*}^{\text{ex}}/8 = 0.083877, \\ \hat{\varphi}_*^{\text{ex}} &= \frac{1}{2} \tau_{A*}^2 \left(\frac{1}{2} \tau_{A*} + 1 \right)^2 = 1.133717, \end{aligned} \quad (22)$$

причем в силу того, что величина \hat{x}_* взята из условия (14), а не из нормировки на φ_A в (19), потенциал при τ_{A*} получился большим единицы.

Хотя соотношения (13) при $\hat{x} > \hat{x}_*$ не имеют смысла, однако ошибку δ их приближенного решения в этой области можно оценить, сравнивая величины $\hat{\varphi}$ из (15) и $\hat{\varphi}^{\text{ex}}$ из (18):

$$\begin{aligned} \hat{\varphi} &= \hat{x} (f_0 + f_1 \hat{x} + f_2 \hat{x}^2) + \hat{x}^{3/2} (g_0 + g_1 \hat{x} + g_2 \hat{x}^2), \\ \hat{\varphi} &= \hat{\varphi}^{\text{ex}}/8, \quad \delta = \left| (\hat{\varphi} - \hat{\varphi}^{\text{ex}}) / \hat{\varphi}^{\text{ex}} \right|. \end{aligned} \quad (23)$$

Ниже приведены значения этой характеристики при разных величинах α :

α	1.5058	2	3	4
$\delta, \%$	0.3	1.06	5.63	17.7

Для $\alpha = 2$ при ошибке порядка 1% межэлектродный интервал простирается до $\hat{x}^{\text{ex}} = 1.08$ вместо $\hat{x}^{\text{ex}} = 0.671022$ из (22). В табл. 1 приведены возможные значения величин \bar{J} , \bar{E} , \bar{x} для этого случая в исходных нормировках (5), а также размерная плотность тока в A/cm^2 . Для вычисления \bar{x} использованы соотношения

$$\begin{aligned} \bar{x} &= \frac{\bar{E}^3}{\bar{J}^2} \hat{x}_A = \frac{\bar{E}^3}{\bar{J}^2} \frac{1}{3} \left[1 + (\alpha - 1) \sqrt{1 + 2\alpha} \right], \\ \alpha = 2, \quad \bar{x} &= \frac{\bar{E}^3}{\bar{J}^2} = \frac{1 + \sqrt{5}}{3}, \quad \bar{J} = \frac{\alpha \bar{E}^2}{\sqrt{2}}, \\ \frac{\bar{E}^3}{\bar{J}^2} &= \frac{1}{2\bar{E}}, \quad \bar{x} = \frac{1}{6} \frac{1 + \sqrt{5}}{\bar{E}}. \end{aligned} \quad (24)$$

Малое значение ошибки δ при $\alpha = 1.5058$ (см. выше) позволяет вычислить величину \hat{x}_* на основе асимптотик для функций $\hat{\Phi}_1$, $\hat{\Phi}_2$ из (15). Оно оказывается равным $\hat{x}_* = 0.0887$ и отличается от значения, полученного в результате интегрирования системы (13), на 5.75%.

Плоский магнетрон. Точное решение в параметрической форме приведено в [5] и содержит величину γ , образованную комбинацией физических параметров J , E , H задачи:

$$\begin{aligned} \hat{x}^{\text{ex}} &= 8\gamma^3 \hat{x} = \tau - \sin \tau + \gamma(1 - \cos \tau), \quad \gamma = \bar{E}\bar{H}/\bar{J}, \\ \hat{\varphi}^{\text{ex}} &= 16\gamma^4 \hat{\varphi} = (1 - \cos \tau + \gamma \sin \tau)^2 + (\hat{x}^{\text{ex}})^2. \end{aligned} \quad (25)$$

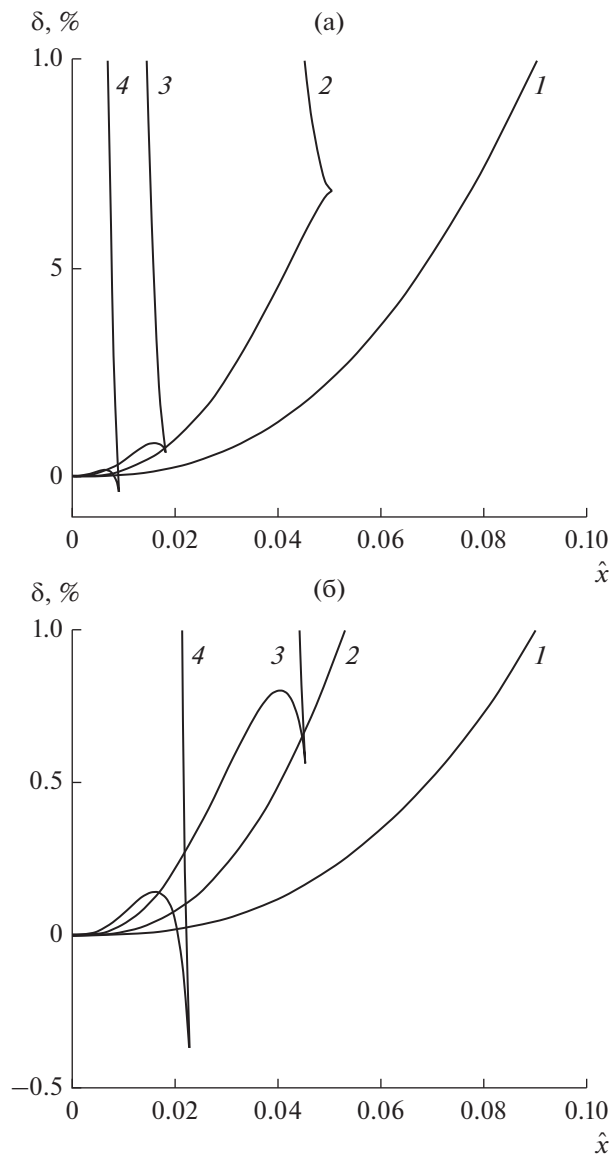


Рис. 2. Относительная ошибка δ приближенного решения для магнетрона при $\gamma = 1, 2, 3, 4$ в диапазоне $\delta = 0 \dots 10\%$ (а) и $\delta = -0.4 \dots 1\%$ (б).

На рис. 2а, 2б представлено соотношение (значения δ) точного решения (25) и приближенного решения

$$\hat{\phi} = \hat{x}\hat{\Phi}_1 + \hat{x}^{3/2}\hat{\Phi}_2, \quad \hat{\Phi}_1 = f_0 + f_1\hat{x} + f_2\hat{x}^2, \quad (26)$$

$$\hat{\Phi}_2 = g_0 + g_1\hat{x} + g_2\hat{x}^2$$

с параболической аппроксимацией функций $\hat{\Phi}_1$, $\hat{\Phi}_2$ при разных значениях γ . Ниже приведена оценка величины \hat{x} , при котором ошибка формы (26) не превышает 1%:

γ	1	2	3	4
\hat{x}	0.09	0.054	0.043	0.02

При наличии магнитного поля параболическая аппроксимация в форме (26) обеспечивает ошибку, не превышающую 1%, на незначительной ча-

сти Δ межэлектродного пространства. Так, для $\gamma = 1$, $\bar{J} = 0.764$, $\bar{H} = 1.27$ при $\hat{x}_A^{ex} = 1.788$ эта часть составляет $\Delta = 5\%$; при $\gamma = 3$, $\bar{J} = 0.34$, $\bar{H} = 2.55$ величина Δ составляет 0.16%.

СПИСОК ЛИТЕРАТУРЫ

1. Сыровой В.А. // РЭ. 2005. Т. 50. № 7. С. 875.
2. Брауде С.Я. // ЖЭТФ. 1935. Т. 5. № 7. С. 621.
3. Брауде С.Я. // ЖТФ. 1940. Т. 10. № 3. С. 217.
4. Manuilov V.N., Zaslavsky V.Yu., Ginzburg N.S. et al. // Phys. of Plasmas. 2014. V. 21. № 2. P. 023106.
5. Сыровой В.А. Введение в теорию интенсивных пучков заряженных частиц. М.: Энергоатомиздат, 2004.